

АКАДЕМИЯ НАУК СССР  
СИБИРСКОЕ ОТДЕЛЕНИЕ  
А В Т О М Е Т Р И Я

№ 6

1984

КРАТКИЕ СООБЩЕНИЯ

УДК 519.283

С. Е. ЖАРИНОВ  
(Петропавловск-Камчатский)

ГРАФИЧЕСКИЙ МЕТОД ПРОВЕРКИ УНИМОДАЛЬНОСТИ

**Введение.** При обработке экспериментальных данных некоторые параметры считаются случайными величинами, имеющими непрерывные функции распределения (ФР) вероятностей. Плотности соответствующих распределений в таком случае оценивают по выборке (например, с помощью гистограмм), а по форме и особенностям полученных оценок делают выводы о природе изучаемого явления или процесса.

Важная характеристика интерпретируемого распределения — мультиодальность. На рис. 1 показана типичная гистограмма, анализ которой позволяет предположить наличие по крайней мере двух «горбов» в исходном распределении, что связано с «провалом» в средней части. Однако последний, вообще говоря, может быть обусловлен и случайностью выборки. Таким образом, возникает вопрос о статистической значимости выдвинутого предположения. Предлагаемый графический метод позволяет проверять гипотезу унимодальности.

**Описание метода.** Идею поясним с помощью графиков, приведенных на рис. 2, которые иллюстрируют качественное отличие ФР в унимодальном (а) и бимодальном (б) случаях. Очевидно, что максимумы и минимумы плотностей соответствуют точкам перегиба ФР, и в унимодальном случае такая точка лишь одна. Предположим теперь, что  $F_2(x)$  — оценка истинной функции распределения  $F(x)$ , полученная по выборке. Построив достаточно узкую полосу

$$W_\varepsilon = \{(x, y) \mid \max [F_2(x) - \varepsilon, 0] \leqslant y \leqslant \min [F_2(x) + \varepsilon, 1]; x \in (-\infty, \infty)\},$$

можно добиться того, что в нее невозможно будет «вписать» никакую непрерывную неубывающую функцию с одной точкой перегиба (типа  $F_1(x)$ ), а определив вероятность события  $F(x) \subset W_\varepsilon$ , можно судить и об уровне статистической значимости данного утверждения. В работе для этой цели используется критерий Колмогорова — Смирнова.

Пусть  $X = (x_1, \dots, x_N)$  — выборка из распределения с непрерывной функцией распределения  $F(x)$ . Рассмотрим эмпирическую ФР:

$$S_N(x) = \begin{cases} 0, & x < x_{(1)}; \\ i/N, & x_{(i)} \leqslant x < x_{(i+1)}; \\ 1, & x_{(N)} \leqslant x, \end{cases} \quad (1)$$

где  $x_{(i)}$  —  $i$ -я порядковая статистика  $X$ . Используя статистику Колмогорова — Смирнова

$$D_N = \sup_x |S_N(x) - F(x)|$$

и задав доверительную вероятность  $P_d$ , можно найти доверительный интервал для ФР  $F(x)$  на уровне значимости  $\alpha = 1 - P_d$ :

$$\max [S_N(x) - \varepsilon_\alpha, 0] \leqslant F(x) \leqslant \min [S_N(x) + \varepsilon_\alpha, 1], \quad x \in (-\infty, \infty), \quad (2)$$

где  $\varepsilon_\alpha$  определяется из соотношения  $P\{D_N > \varepsilon_\alpha\} = \alpha$ . Соответствующие критические значения  $\varepsilon_\alpha$  табулированы (см., например, [1]), но при больших  $N$  ( $N \geqslant 80$ ) в принципе достаточно приближения [2]

$$\varepsilon_\alpha(N) \approx K_\alpha/\sqrt{N}. \quad (3)$$

Здесь  $K_\alpha$  — постоянная, зависящая лишь от уровня значимости:

$$K_{0,10} = 1,23; \quad K_{0,05} = 1,36; \quad K_{0,01} = 1,63.$$

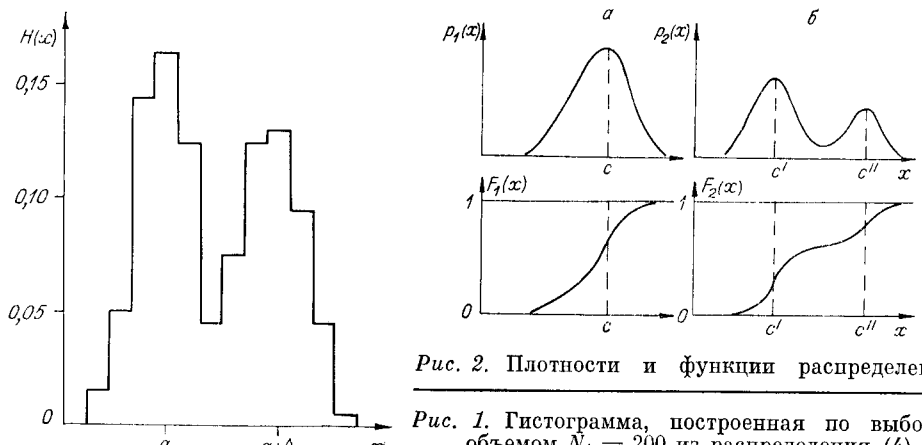


Рис. 2. Плотности и функции распределения.

Рис. 1. Гистограмма, построенная по выборке объемом  $N_1 = 200$  из распределения (4) ( $\Delta/\sigma = 4$ ).

Таким образом, для решения поставленной задачи требуется по выборке построить эмпирическую ФР (1), вычислить критическое значение  $\varepsilon_\alpha$  по формуле (3) и проанализировать доверительную полосу (2). Если в ее нельзя вписать функцию с одним перегибом, то гипотезу об унимодальности следует отвергнуть на уровне значимости  $\alpha$ .

Заметим, что последнее условие не поддается формализации, однако вопрос фактически сводится к тому, можно ли вписать в среднюю часть доверительной полосы отрезок прямой линии (т. е. критическое распределение, равномерное в области «провала»), что в каждом конкретном случае определяется визуально. Проиллюстрируем это на примере.

Пример. Пусть случайная величина имеет плотность распределения

$$p(x) = (1/2\sqrt{2\pi}\sigma) \exp\{-(x-a)^2/2\sigma^2\} + (1/2\sqrt{2\pi}\sigma) \exp\{-(x-a-\Delta)^2/2\sigma^2\}, \quad (4)$$

представляющую собой смесь двух нормальных распределений с одинаковыми дисперсиями и вессами, но разными математическими ожиданиями, отличающимися па  $\Delta$ .

При  $\Delta = 4\sigma$  было получено две выборки объемом  $N_1 = 200$  и  $N_2 = 800$ . Построенные доверительные полосы показаны на рис. 3. Видно, что в первом случае па уровне значимости  $\alpha = 0,10$  ( $\varepsilon_{0,10}(200) = 0,087$ ) гипотезу об унимодальности отклонить не удается (допустимая функция с одним перегибом показана на рис. 3, а тонкой линией), тогда как во втором случае нулевая гипотеза, без сомнения, отклоняется даже на уровне значимости  $\alpha = 0,05$  ( $\varepsilon_{0,05}(800) = 0,048$ ).

Обсуждение. В рассмотренном примере потребовалось большое количество измерений для принятия правильного решения, хотя «горбы» на гистограмме достаточно ярко выражены и при меньшем объеме выборки (см. рис. 1). Это свидетельствует о невысокой мощности критерия для гипотез рассматриваемого типа.

Для оценки чувствительности предложенного метода к величине «провала» были проведены модельные эксперименты с семейством распределений (4) при различных значениях параметра  $\Delta$ . Известно, что бимодальность в этом случае имеет место при  $\Delta > 2\sigma$ , а при  $\Delta > 6\sigma$  минимум становится практически нулевым. Усредненная зависимость  $\Delta/\sigma$  от критического объема выборки, необходимого для отклонения нулевой гипотезы на разных уровнях значимости, показана на рис. 4. Полученная зависимость позволяет (хотя бы качественно) оценить, достаточно ли име-

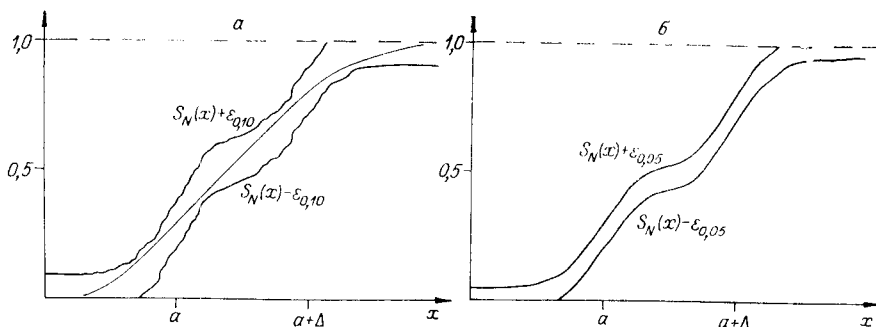


Рис. 3. Доверительные полосы, построенные по выборке из распределения (4):  
а —  $N = 200$ ,  $\alpha = 0,10$ ; б —  $N = 800$ ,  $\alpha = 0,05$ .

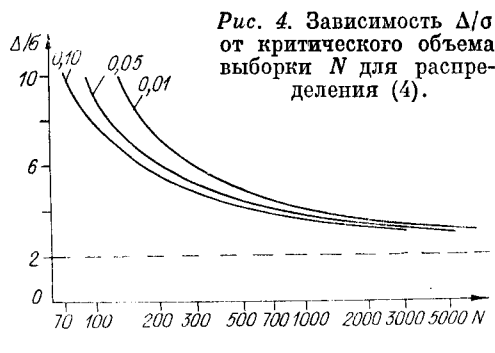


Рис. 4. Зависимость  $\Delta/\sigma$  от критического объема выборки  $N$  для распределения (4).

ющихся данных для запатентованного утверждения о мультимодальности в каждом конкретном случае. Так, при получении гистограммы типа рис. 1 ( $\Delta/\sigma = 4$ ) для этого требуется при  $\alpha = 0,10$  выборка объемом не менее 600 измерений.

**Заключение.** К достоинствам предложенного графического метода проверки гипотезы унимодальности распределений следует отнести его непараметричность, простоту и наглядность. Малая мощность критерия снижает эффективность его практического применения. Возможно, использование других критериев согласия, например критерия  $\chi^2$ , позволит улучшить эту характеристику.

## ЛИТЕРАТУРА

1. Большев Л. Н., Смирнов Н. В. Таблицы математической статистики.— М.: Наука, 1965.
2. Кендалл М. Дж., Стюарт А. Статистические выводы и связи.— М.: Наука, 1973.

Поступило в редакцию 23 февраля 1981 г.

УДК 55.51

В. А. ИВАНОВ, Г. А. ИВАНЧЕНКО, Н. Н. КАРЛСОН, Н. С. ЯКОВЕНКО  
(Новосибирск)

## ПРОГРАММНОЕ И ТЕХНИЧЕСКОЕ ОБЕСПЕЧЕНИЕ ГЕОЛОГО-ГЕОФИЗИЧЕСКОЙ БАЗЫ ДАННЫХ

Совместный анализ фотоизображений территории и геолого-геофизических данных (ГГД) этой местности имеет определяющее значение при выявлении районов, перспективных для разведки полезных ископаемых, а также для оценки их запасов [1]. Для анализа фотоснимков на комплексе цифровой обработки изображений [2], управляемом мини-ЭВМ ЕС-1010, используется эксплуатируемая на протяжении последних пяти лет база данных цифровых изображений (БДЦИ) [3, 4].

Основная трудность обработки ГГД на ЭВМ заключена в представлении их в виде карт. В настоящем сообщении описывается первая очередь геолого-геофизической базы данных (ГГБД), программное обеспечение которой позволяет осуществлять ввод/вывод, хранение, редактирование и анализ ГГД совместно со снимками.

**Ввод/вывод графической информации.** Ввод закодированной графической информации (реперы, точки, изолинии и т. п.) с карты на магнитную ленту и вывод данных на бумагу производится графопостроителем-кодировщиком (г/к) «Планшет» [5]. В составе г/к «Планшет» имеются управляющая микроЭВМ «Электроника-60М», связанные с мини-ЭВМ «Nord-100», и «Электроника 100-25». ЭВМ «Nord-100» служит для накопления данных и записи на НМЛ, а также чтения с НМЛ и вывода на «Планшет». «Электроника 100-25» используется как инструментальная ЭВМ для поддержки управляющего программного обеспечения г/к «Планшет». Применение «Планшета» позволяет осуществлять ввод/вывод графической информации в формате  $840 \times 1200 \text{ мм}^2$  с разрешением 0,01 мм. Практическая точность установки визира для ввода координаты не хуже 0,5 мм. Файл временного хранения данных дает возможность накопить до  $10^5$  закодированных точек.

**Системы баз данных.** Следуя терминологии [6], объектами ГГБД являются различные точки на кодируемой карте. Объект имеет три атрибута: признак (реперная точка, изолиния, профиль, линеамента и прочие точки), значение геолого-геофизической величины (например, значение температуры в скважине) и координату кодируемой точки (1 дискрет = 0,1 мм). Домен атрибутов — множество целых чисел. Атрибут «признак» — ключ для всего набора объектов (т. е. значение ключа однозначно идентифицирует каждый объект во всем наборе).

Физическая база данных размещается на магнитных дисках ЕС-5052 емкостью 7,5 Мб и поддерживается системами управления файлами FMS-10 и FMS-D операционной системы DOS-10 мини-ЭВМ ЕС-1010. При помощи существующего в комплексе функционально полного набора цифровых средств ввода/вывода изображений система управления БДЦИ позволяет вводить снимки в файлы малого ( $256 \times 256$  байт) и большого ( $1024 \times 1024$  байт) форматов, визуализировать их на черно-белых и цветных полутоновых дисплеях, а также осуществлять их хранение и обработку.

Система управления ГГБД позволяет данные, записанные на МЛ, а также на перфолентах и перфокартах, вводить с возможным преобразованием формата в файлы, а в случае необходимости результат анализа выводить в аналогичном виде на